研究简报

粉状白钨酸的研究

X XI. 六聚钨酸二甲基亚矾加合物的制备:

朱思三 顾翼东

关键词: 粉状白钨酸 六聚钨酸 二甲基亚砜加合物

1968年,Fuchs等⁽¹⁾首次用控制水解法从WO(CH_a)、中获得了六聚钨酸盐,它的 阴离子 W_aO²; 结构也已被测定⁽²⁾。 迄今六钨酸盐主要还是局限于几个 多 碳 有 机 胺 盐^(3,4)。以粉状白钨酸为原料,在二甲基亚砜(DMSO)中制得了一系列DMSO 配位的 多价金属的六钨酸盐晶体, 并测定了其中部分盐类的晶体结构^(5,6)。 但六聚钨酸仍未 见文献报道。本文报道了六聚钨酸的制备及它的某些性质。

一、六聚钨酸的制备及组成

将13克新鲜制得、并已烘干的粉状白钨 酸(WO₃·1.2H₂O)(7)加 到₁100ml DMSO中,搅拌下加热回流半小时,白钨酸基本溶解。冷至室温后,滤去少量不溶物,得到浅黄色溶液(每毫升溶液含WO₃约0.1克)。然后将溶液减压浓缩,也可在常压下小火慢慢蒸发,直至溶液呈褐色并略带粘稠状为止(体积约为原体积的 1/10)。加入 200ml 99.5%乙醇或丙酮,即析出浅黄色粉末。用乙醇、乙醚洗涤,在空气中干燥。得到组成为 H_2 W₆O₁₆·3.1DMSO·2.0H₂O 的化合物 11 克。但随溶液浓缩程度不同,析出物中DMSO 及 H_2 O 的含量不同,颜色和得率也不同。因此析出物的组成 式 可写成为: H_2 W₆O₁₆·m DMSO·n H_2 O(简写作 HTA·DMSO,m=1-4; n=1、 2。见表1)。DMSO含量由C、H分析确定; WO₃由盐酸一辛可宁重量法分析;含水量由差减法并结合热重分析计算。

从 HTA·DMSO的DMSO 溶液制得的铜盐及锰盐的晶体结构测定(5)表明它们具有 六聚态的阴离子 $W_6O_{10}^{2-}$,结合紫外、红外光谱及电位滴定等性质, 可以认为 HTA·DMSO是一种含有阴离子 $W_6O_{10}^{2-}$,其DMSO 和水的量并不固定的六聚钨酸亚砜加合物。但结构中质子的位置及它们与DMSO的键合性质还有待确定。

二、紫外及红外吸收光谱

HTA·DMSO易溶于DMSO、DMF, 在乙腈、硝基苯及二氯甲烷中也有少量溶解,

本文于1987年7月17日收到。

^{*} 国家自然科学基金资助课题

Table 1 Compositions of 1112 2000						
sample		No.1	№ .2	№.3	No - 4	No. 5
isolation condition		concd.to initial volume 5%	concd.to initial volume 10%	concd.to initial volume 25%	concd.to initial volume 50%	concd.to initial volume 100%
color		drab	pale yellow	pale yellow	pale yellow	white
w O ₃ (%)	found	81.02	83.91	88.20	90.51	92.03
	calcd.	80.72	83.36	87.94	90.83	92.57
DMSO (%)	found	15.59	14.18	10.07	7.78	6.59
	calcd.	15.84	14.49	10.35	7.64	6.23
H ₂ O(%)	found	3.39	1.91	1.73	1.71	1.38
	calcd.	3.45	2.16	1.71	1.53	1.20
chemical formula		H ₂ W ₆ O ₁ , 3.5DMSO- 2.0H ₂ O	H ₂ W ₆ O ₁ , 3.1DMSO- 2.0H ₂ O	H ₂ W ₆ O ₁ , 2.1DMSO- 1.5H ₂ O	H ₂ W ₆ O ₁ , 1.5DMSO- 1.3H ₂ O	H ₂ W ₆ O ₁ , 1.2DMSO 1.0H ₂ O

表 1 HTA DMSO的组成
Table 1 Compositions of HTA DMSO

微溶于甲醇、乙醇及丙酮。

yields(WO, %).

HTA·DMSO 的甲醇或乙腈溶液的紫外光谱在276nm处有特征吸收峰, $\varepsilon = 1.22 \times 10^4$ 。这与六钨酸的金属盐类的情况一致(5)。Boyer等在酸化Na₂WO₄的甲醇溶液形成六钨酸盐阴离子的过程中也曾发现在275nm处有吸收峰(5)。

~93

~85

~75

~55

~97

HTA·DMSO 及它的DMSO溶液的红外吸收光谱如图 1 所示。 不同类型W-O键的振动频率与六钨酸的盐类^{C1},⁵⁰一致,见表 2 (表中带*者为DMSO的吸收)。

三、热稳定性

HTA·DMSO 可溶于水,特别是易溶于热水。但它在水溶液中却很不稳定,很快转化为十聚钨酸⁽⁸⁾。 但六钨酸的粉末在加热时还是相当稳定的,它的热失重及差热分析如图 2 所示。

从DTG线上明显看出有 4 个失重阶段: 30-90℃失去吸附水,90-180℃及180° -280℃失去DMSO,280℃开始脱去六聚钨酸中的一个结构水,对应于 DTA 线上一个宽的吸热峰,HTA随之而分解。对于其他组分的HTA: DMSO,实验表明,都在280℃左右失掉结构水,失重量均十分接近于 1 摩尔的水。 为验证这一点, 我 们 将 样 品 置 于280℃下供 1 小时,发现HTA略呈灰褐色,仍易溶于DMSO和热水中,仍显示出较强的酸性。此时,它的IR图谱和数据(见图 1 和表 2)表明,它仍维持阴离子 W_6O_{16} 2 中的 W_7O 2 键的振动,只是DMSO 的吸收频率基本消失。若将样品加热至400-450℃样品

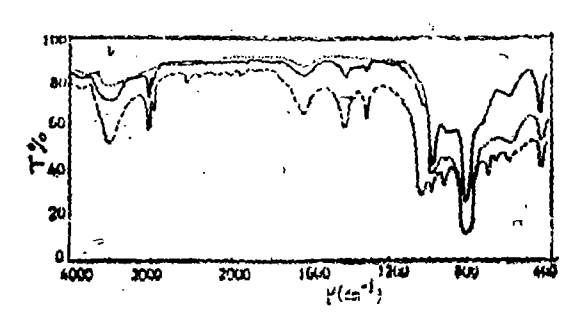


图1 HTA·DMSO的IR光谱

Fig. 1 IR spectrum of HTA·DMSO

---HTA.DMSO powder(dried at r.t.).

.....HTA.DMSO powder(heated at 280°C for 1h)

----HTA-DMSO solution

表2 HTA·DMSO的 IR光谱

Table 2 IR Data of HTA.DMSO

sample	v _{W-0} (cm ⁻¹)				
HTA-PMSO soln.	1020°(s), 977(s), 955°(s), 899°(w), 816(vs), 702°(s) 670°(m), 588(m), 445(s)				
HTA.DMSO (dried r.t.)	1030°(w), 980(s), 945°(m), 818(vs), 705°(m) 590(m), 450(s)				
HTA.DMSO (heated at 280°C for 1h)	982(s), 815(vs) 586(m), 448(s)				
(n-Bu, N), W, O, , (1)	978(vs), 815(vs) 588(m), 447(s)				
[(DMSO), Cu)W, O1, (5)	1028*(s), 972(vs), 955*(w), 810(vs), 712*(m) 670*(w), 584(m), 440(vs),				

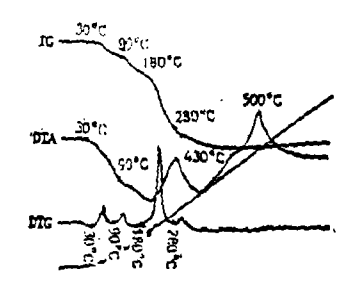


图 2 HTA·DMSO 的热分析谱图 Fig. 2 Thermo analysis curves of HTA·DMSO sample: No.2

转为黄色,不再溶于热的DMSO和水中,这说明HTA已经分解为WO。。随后的一个放热峰(~500℃),可能是WO。的构型改变所致(此时并不伴随失重)。

四、HTA-DMSO溶液的电位滴定

在DMSO介质中, 我们用乙醇钠溶液对HTA的 DMSO 溶 液 进 行 电 位 滴 定 (图 3)。

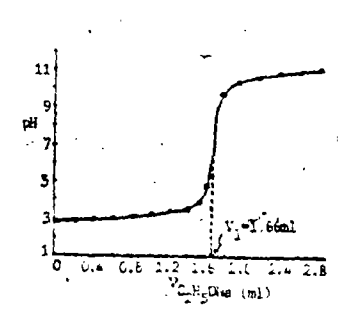


图 3 HTA-DMSO 溶液的电位滴定曲线
Fig. 3 Potential titration curve of HTA-DMSO solution
0.1076 gHTA-DMSO(No.2)-10.00 ml DMSO

Cc2H5ONa = 0.0808 M
t = 25.0 ± 0.5℃

从它明显的滴定终点,计算求得在HTA·DMSO中,钨原子与质子的摩尔比为3:1 (6:2)。对于其他组分的样品, 电位滴定的结果也是完全一致的, 这进一步 证实了 HTA·DMSO确实具有 $H_2W_6O_{10}$ 的组成。它之所以易于以粉末形式制得, 很可能是由于 $H_2W_6O_{10}$ 与弱碱性溶剂DMSO结合成了"盐"。

五、电化学性质

我们用经典极谱法测得 HTA-DMSO 溶液具有两个半波电位: $E_{1/2} = -0.72$ V 和 -1.04V(对于 Ag-AgCl参比电极,0.02M HTA-DMSO溶液)。 这与 Boyer等 (8)报 道的只有一个半波电位(-1.25V,甘汞电极)不一致。 我们还用循环伏安法测得了两个不可逆的阳极峰,它们对应于还原电位 E=-0.66V 和-0.92V(Ag-AgCl 电极)。 因此, $W_6O_7^2$,的还原过程很可能是分两步进行的,而且它的还原形态很不稳定:

$$W_{\epsilon}O_{10}^{2} \xrightarrow{+e} W_{\epsilon}O_{10}^{3} \xrightarrow{+e} W_{\epsilon}O_{10}^{45}$$

六聚钨酸的其他性质还在研究之中。

. . .

金 考 全 献

- (1) Fuchs, J., Jahr, K.F., Z. Naturforsch., 23 b, 1380(1968).
- [2] Fuchs, J., Filfried, W., Hartl, H., Acta Cryst., B 34 1764(1978).
- [3] Fuchs, J., Z. Naturforsch, 28 b, 389(1973).
- [4] Sanchez, C., Livage, J., Launay, J.P., Fournier, M., J. Amer. Chem. Soc., 105, 6817(1983).
- [5] Zhu, S.S., Chen, M.Q., Gu, Y.D. (Ku, Y.T.), Abstracts of Papers, XXV International Conference on Coordination Chemistry, C, 2518(1987).
- [6] Zhu, S.S., Gu, Y.D.(Ku, Y.T.), ibib, C2, 523(1987).
- [7] 顾翼东、朱思三, 高等学校化学学报, 3, 137(1982)。
- [8] Boyer, M., LeMeur, C.R., Acad. Sci., Ser. C, 281, 59(1975).

STUDIES ON WHITE POWDERY TUNGSTIC ACID

XVII. PREPARATION OF HEXATUNGSTIC ACID ADDUCT WITH DIMETHYL SULFOXIDE

Zhu Sisan Gu Yidong(Yih-Tong Ku)

(Department of Chemistry, Fudan University)

The title compound, $H_2W_6O_{10}$ mDMSO·nH₂O (m=1-4; n=1, 2), has been prepared by the solution of white powdery tungstic acid in DMSO media. The experimental results indicated that the title compound is a hexatungstic acid with anion $W_6O_{10}^2$, identified by crystal structure, UV, IR and potential titration. The thermal stability and the electrochemical behavior have also been studied.

Keywords white powdery tungstic acid hexapolytungstic acid dimethyl sulfoxide adduct

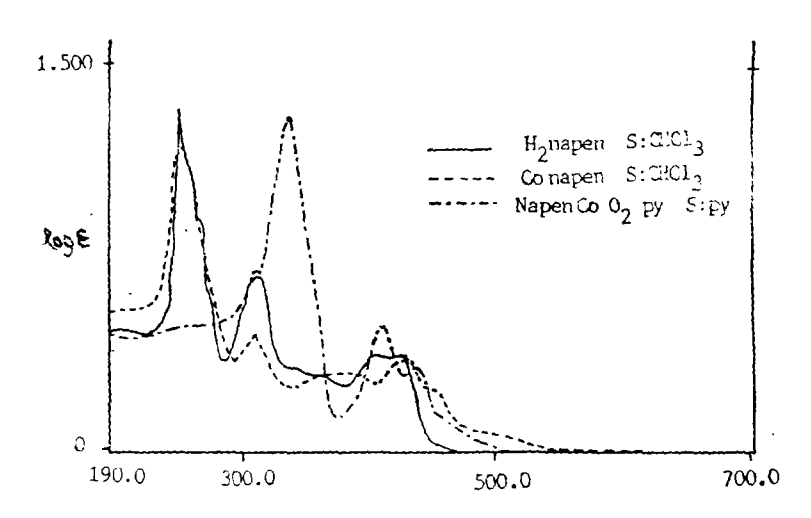


图 1 H:napen、Conapen以及NapenCoO2py的 紫外光谱(衍用溶剂已在图中标出,参比与溶剂相同)

Fig. 1 UV spectra of Hinapen, Conapen and NapenCoOipy (the solvents used are indicated on the figure, and the references used are the same solvents indicated)

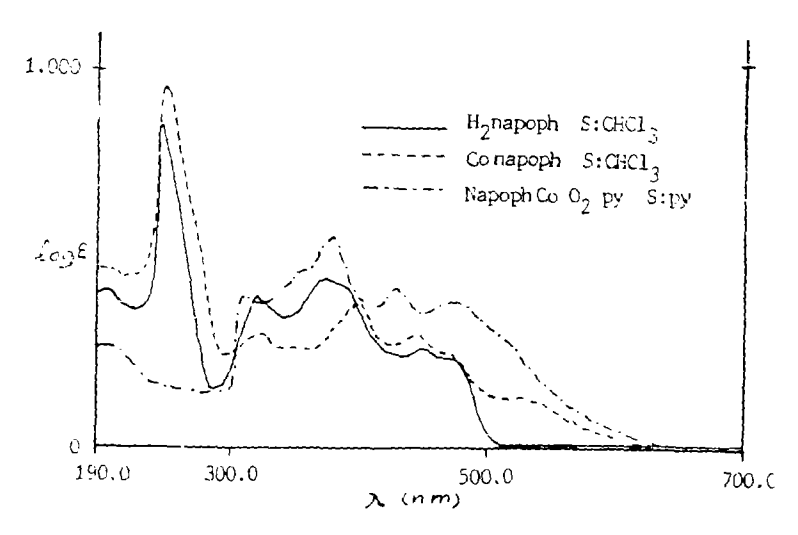


图 2 H,napoph、Conapoph以及NapophCoO,py的 紫外光谱(所用溶剂已在图中标出,用相同溶剂为参比)

Fig. 2 UV spectra of Hinapoph, Conapoph and NapophCoOipy (the solvents used are indicated on the figure, and the references used are the same solvents indicated)

补正:因疏忽漏印1988年第4卷第1期第65页文中插图1,2,特此补正。